

УДК 534.222.2

**АВТОМОДЕЛЬНЫЙ РАЗЛЕТ ПРОДУКТОВ ИСПАРЕНИЯ ТВЕРДОЙ СТЕНКИ ПОД ДЕЙСТВИЕМ ПЕРЕМЕННОГО ЭНЕРГОВЫДЕЛЕНИЯ**

**A. T. Сапожников**

(Челябинск)

Рассмотрена система автомодельных уравнений движения продуктов испарения (идеальный газ) под действием переменного энерговыделения. Сформулированы условия существования и единственности решения задачи об испарении и разлете вещества в вакуум.

1. При решении задачи об испарении и разлете вещества в вакуум при постепенном выделении энергии обычно предполагается, что испарение происходит в слое пренебрежимо малой толщины, продукты испарения можно считать идеальным газом, изменением плотности и скорости неиспаренного вещества можно пренебречь. Таким образом, движение конденсированного вещества не рассматривается, и задача сводится к рассмотрению движения слоя идеального газа переменной массы, ограниченного поверхностью испарения с одной стороны и свободной поверхностью с другой. Такая схематизация явления принята, например, в [1-3].

При постановке задачи в указанном приближении существенным моментом является формулировка условий испарения. Эти условия связывают параметры испаренного и неиспаренного вещества по обе стороны поверхности испарения и определяют закон ее движения. Так как движение неиспаренного вещества и структура слоя, где происходит испарение, не рассматриваются, то заранее условия испарения не известны и формулируются из каких-либо физических соображений о процессе в целом. Эти условия должны обеспечивать существование и единственность решения задачи.

В данной работе на конкретном примере автомодельного движения рассмотрены существование и единственность решения задачи о разлете в вакуум продуктов поверхностного испарения твердой стенки.

2. В начальный момент времени  $t = 0$  конденсированное вещество занимает полупространство  $x \geq 0$  и характеризуется плотностью  $\rho_0$ , давлением  $p_0$  и нулевой скоростью.

В точке  $x = 0$  вещество граничит с вакуумом. При  $t > 0$  в веществе выделяется энергия со скоростью

$$\frac{\partial E}{\partial t} = Q = C m^{-\alpha} t^{\alpha-1} \quad (2.1)$$
$$\left( m = \int_0^x \rho dx \right)$$

где  $E$  — удельная внутренняя энергия,  $m$  — массовая лагранжева координата,  $C$  и  $\alpha$  — постоянные величины, причем  $C > 0$  и

$$0 < \alpha < 1 \quad (2.2)$$

Условие (2.2) означает, что в конечной массе от 0 до  $x$  за конечное время от 0 до  $t$  выделяется конечная энергия. Кроме того, при  $0 < \alpha < 1$  скорость энерговыделения уменьшается с ростом  $m$  и  $t$ .

Движение паров под действием энерговыделения (2.1) описывается системой уравнений газодинамики

$$\begin{aligned}\frac{\partial u}{\partial t} &= -\frac{\partial p}{\partial m}, \quad \frac{\partial V}{\partial t} = \frac{\partial u}{\partial m} \\ \frac{\partial E}{\partial t} &= -p \frac{\partial V}{\partial t} + Q, \quad E = \frac{pV}{\gamma-1}\end{aligned}\quad (2.3)$$

где  $u$  — скорость,  $V$  — удельный объем,  $\gamma$  — показатель адиабаты Пуассона. Краевое условие на свободной поверхности —  $p = 0$  при  $m = 0$ . Предполагается, что условия испарения не добавят параметров с независимыми размерностями к уже имеющимся определяющим параметрам задачи:  $\rho_0$ ,  $p_0$ ,  $C$ ,  $\alpha$ ,  $\gamma$ .

Движение с определяющими параметрами автомодельно, с показателем автомодельности, равным единице. Ограничимся условиями испарения, при которых поверхность испарения, являющаяся плоскостью, движется в глубь вещества с постоянной скоростью.

3. Введем безразмерные переменные

$$\lambda = \frac{m}{u_0 \rho_0 t}, \quad U = \frac{u}{u_0}, \quad P = \frac{p}{\rho_0 u_0^2}, \quad v = V \rho_0 \quad (3.1)$$

$$(u_0 = (C / \rho_0)^{1/(z+2)})$$

Система (2.3), записанная в переменных (3.1), принимает вид

$$\begin{aligned}v' &= q \lambda^{-(1+\alpha)} \Delta^{-1}, \quad P' = -q \lambda^{1-\alpha} \Delta^{-1}, \quad U' = -q \lambda^{-\alpha} \Delta^{-1} \\ \Delta &= \lambda^2 v - \gamma P \quad (q = (\gamma - 1) \rho_0^{(4+\alpha^2)/(2+\alpha)} C^{4/(2+\alpha)})\end{aligned}\quad (3.2)$$

Первые два уравнения системы (3.2) можно рассматривать независимо от третьего. При известных  $v(\lambda)$  и  $P(\lambda)$  скорость можно найти квадратурой с аддитивной постоянной. Система (3.2) частично исследована в [3].

Введем новые переменные  $s$ ,  $l$ ,  $z$  по формулам

$$s = \lambda^2, \quad l = \gamma P / sv, \quad z = (\lambda^{2+\alpha} v^2)^{-1} \quad (3.3)$$

В новых переменных первые два уравнения системы (3.2) принимают вид

$$\begin{aligned}\frac{dz}{ds} &= \frac{z [2qz - (2 + \alpha)(l - 1)]}{2s(l - 1)} \\ \frac{dl}{ds} &= \frac{qz(l + \gamma) - 2l(l - 1)}{2s(l - 1)}\end{aligned}\quad (3.4)$$

Приравнивая нуль числители правых частей уравнений (3.4), получим два частных решения

$$\begin{aligned}l &\equiv 0, \quad z \equiv 0 \\ l &= l_1 = \gamma \frac{2 + \alpha}{2 - \alpha} \quad z = z_1 = \frac{2 + \alpha}{2q} (l_1 - 1)\end{aligned}\quad (3.5)$$

Первое решение соответствует  $\rho \equiv 0$  и не представляет интереса. Второе решение вместе с уравнением для скорости приводит к

$$v = z_1^{-1/2} \lambda^{(2+\alpha)/2}, \quad P = \frac{2 + \alpha}{2 - \alpha} \lambda^{(2-\alpha)/2} z_1^{-1/2}, \quad U = -\frac{2 + \alpha}{\alpha} \lambda^{-\alpha/2} + U_0 \quad (3.6)$$

Здесь  $U_0$  — произвольная константа. Частное решение (3.6) указано в [3]. Поделив первое уравнение (3.4) на второе, получим

$$\frac{dz}{dl} = \frac{z [2qz - (2 + \alpha)(l - 1)]}{qz(l + \gamma) - 2l(l - 1)} \quad (3.7)$$

Таким образом, задача интегрирования системы (3.2) свелась к интегрированию (3.7), так как при известной зависимости  $z(l)$  решение остальных уравнений сводится к квадратурам.

Для анализа существования и единственности решения задачи о разлете паров в вакуум рассмотрим поле интегральных кривых уравнения (3.7). Интегральные кривые схематически показаны на фиг. 1. Стрелки указывают направление роста переменной  $s$ .

В особую точку  $A$  (седло) с координатами  $l = l_1$ ,  $z = z_1$  входят две интегральные кривые.

Из второго уравнения (3.4) следует, что в окрестности точки  $A$  для  $s$  справедливо соотношение

$$l = \psi |s|^v + l_1$$

где  $\psi$  — произвольная константа. Отметим, что  $y > 0$  вдоль интегральной кривой 1 (фиг. 1) при всех допустимых значениях  $\alpha$ ,  $q$  и  $v$ . Вдоль этой интегральной кривой  $s = \lambda^2 \rightarrow 0$  при  $l \rightarrow l_1$ . Вдоль второй интегральной кривой в точке  $A$   $y < 0$ , поэтому  $s \rightarrow \pm \infty$  при  $l \rightarrow l_1$ . Из (3.3) следует, что в окрестности точки  $A$

$$P = \frac{l_1}{\gamma \sqrt{z_1}} s^{(2-\alpha)/4}, \quad v = \frac{1}{\sqrt{z_1}} s^{-(2+\alpha)/4} \quad (3.8)$$

Из формул (3.8) видно, что  $P \rightarrow 0$ ,  $v \rightarrow \infty$  при подходе к точке  $A$  по первой кривой, т. е. точка  $A$  в этом случае соответствует границе с вакуумом.

Особая точка  $l = 0$ ,  $z = 0$  является узлом. Как показывает анализ системы (3.4), переменная  $s \rightarrow \pm \infty$  при подходе по обоим направлениям к точке  $O$ . С приближением к особой точке  $l = 1$ ,  $z = 0$  переменная  $s \rightarrow \pm \text{const} \neq 0$ .

Бесконечно удаленная точка  $l = \infty$ ,  $z = \infty$  также является особой. Интегральные кривые входят в нее по направлению  $dz/dl = \alpha/q$ . При этом переменная  $s \rightarrow 0$  по закону  $s = Hl^{-2(2-\alpha)}$ , где  $H$  — произвольная константа. Для плотности, давления и скорости в окрестности точки  $l = \infty$ ,  $z = \infty$  справедливы формулы

$$P \rightarrow P_1 = \frac{1}{\gamma} \sqrt{\frac{q}{\alpha H}}, \quad \rho = \rho_0 \sqrt{\frac{\alpha}{q} H} s^{\alpha/2} \rightarrow 0,$$

$$U = \frac{q}{\gamma(1-\alpha)P_1} s^{(1-\alpha)/2} + U_0$$

где  $U_0$  — произвольная константа. Таким образом, точка  $l = \infty$ ,  $z = \infty$  соответствует границе с поршнем постоянного ненулевого давления.

В окрестности любой неособой точки  $(l_0, z_0)$

$$\frac{dl}{ds} = \frac{qz(l_0 + \gamma) - 2l_0(l_0 - 1)}{2(l_0 - 1)s} = -\frac{\Phi}{s} \neq 0$$

откуда

$$s = Ne^{l/\Phi}$$

Здесь  $N$  — ненулевая произвольная константа, т. е. в неособых точках уравнения (3.7)  $s \neq 0$ . Итак, точка  $A$  является единственной точкой, которая соответствует границе с вакуумом, поэтому краевое условие для уравнения (3.7), соответствующее границе с вакуумом, это  $z = z_1$  при  $l = l_1$  вдоль кривой 1 (фиг. 1).

4. Поскольку течение паров может быть разрывным (с ударной волной), то для построения разрывных автомодельных решений рассмотрим

связь между  $l$  и  $z$  по обе стороны разрыва. Из соотношений Гюгонио

$$V_+ - V_- = -W^{-1}(u_+ - u_-), \quad u_+ - u_- = W^{-1}(p_+ - p_-)$$

$$E_+ - E_- = 1/2(p_+ + p_-)(V_- - V_+)$$

следует связь между  $(l, z)_-$  и  $(l, z)_+$  в виде

$$z_+ = z_- \left( \frac{\gamma + 1}{\gamma - 1 + 2l_-} \right)^2, \quad l_+ = \frac{2\gamma - (\gamma - 1)l_-}{\gamma - 1 + 2l_-} \quad (4.1)$$

Здесь  $W$  — скорость ударной волны, индекс минус относится к состоянию перед фронтом, плюс — за фронтом. Из формул (4.1) следует, что точки прямой  $l = 1$  переходят в себя, т. е.  $l = 1$  соответствует слабому разрыву. Это следует и из формулы для  $l$  (3.3), которую можно переписать в виде  $l = (c_0/\lambda)^2$ , поскольку скорость звука  $c = \sqrt{\gamma p V}$  в идеальном газе.

Точки с  $l_- < 1$  переходят в точки с  $l_+ > 1$ , при этом  $z_+ > z_-$ , а значит и  $\rho_+ > \rho_-$ , что соответствует ударной волне сжатия. Точки с  $l_- > 1$  переходят в точки с  $l_+ < 1$ , при этом  $z_+ < z_-$ , что соответствует ударной волне разрежения. Ударные волны разрежения в идеальном газе механически неустойчивы, поэтому точки с

$l > 1$  не могут соответствовать состояниям перед фронтом скачка. Возможные ударные переходы показаны на фиг. 2. Область возможных состояний перед фронтом заштрихована горизонтально, за фронтом — вертикально. Линия  $l = 0$  переходит в линию  $l = 2\gamma/(\gamma-1)$ .

Пунктирная линия  $1B$  на фиг. 1 есть геометрическое место состояний перед фронтом скачка, которые переходят в точки кривой  $1$ .

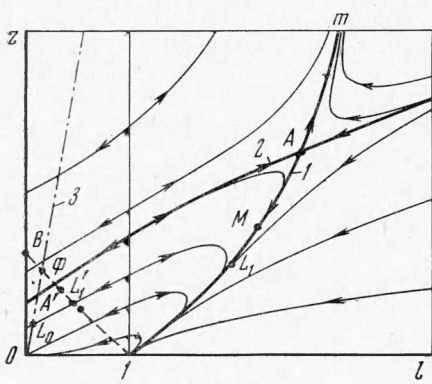
5. Приведенных сведений об интегральных кривых уравнений (3.4) и (3.7), а также о свойствах автомодельных ударных волн достаточно, чтобы перейти к рассмотрению существования и единственности решения задачи о разлете паров в вакуум. Решение уравнения (3.7), которое удовлетворяет условию  $z = z_1$  при  $l = l_1$  вдоль кривой  $1$ , существует и единствено, если краевое условие в плоскости испарения в переменных  $l, z$  изображается:

- 1) точкой, принадлежащей кривой  $1$ ;
- 2) линией, имеющей одну точку пересечения с кривой  $1$ , но не имеющей общих точек с треугольником  $10B$ ;

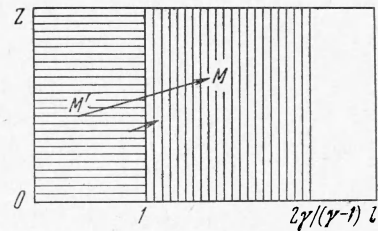
3) точкой, принадлежащей треугольнику  $10B$ .

В остальных случаях решения нет или оно не единствено.

Действительно, в первом случае решение непрерывно и состоит из куска сепаратрисы  $MA$ , где  $M$  — точка, соответствующая поверхности испарения. Если эта точка совпадает с  $A$ , то задача решается с помощью частного решения (3.6).



Фиг. 1



Фиг. 2

Второй случай сводится к первому, но начальные значения  $l$  и  $z$  не заданы заранее, а определяются пересечением сепаратрисы  $1$  и линии, соответствующей краевому условию.

В третьем случае решение разрывно и состоит из куска интегральной кривой  $L_0L_1'$  и куска кривой  $L_1A$ , где  $L_0$  — точка, соответствующая поверхности испарения,  $L_1'$  — точка пересечения интегральной кривой и линии  $1B$ ,  $L_1$  — точка, в которую переходит точка  $L_1'$  на ударной волне (фиг. 1).

Рассмотрим случай нарушения условий существования и единственности решения уравнения (3.7). Если точка, соответствующая поверхности испарения, не принадлежит треугольнику  $10B$  и не лежит на сепаратрисе  $1$ , то из фиг. 1 видно, что нет интегральной кривой (непрерывной или разрывной), которая соединяла бы эту точку с точкой  $A$  с сохранением монотонности изменения переменной  $s$ . (Решение, в котором переменная  $s = \lambda^2$  меняется немонотонно, не имеет физического смысла.) Если краевому условию на поверхности испарения соответствует линия, принадлежащая треугольнику  $10B$ , то существует бесконечное множество разрывных решений, начинающихся в точках этой линии. Решения строятся так же, как в третьем случае.

При известных значениях  $l$  и  $z$  на поверхности испарения для построения единственного решения уравнений (3.4) необходимо и достаточно задать скорость поверхности испарения  $D$ . Это следует из (3.4). Для нахождения зависимости  $U(\lambda)$  необходимо и достаточно задать скорость паров  $u_1$  на поверхности испарения. Это следует из третьего уравнения системы (3.2).

Из структуры решения уравнения (3.7) следует, что возможны два качественно различных режима автомодельного разлета паров:

- 1) непрерывное течение;
- 2) течение с ударной волной.

Решение задачи о разете паров в вакуум существует и единственno, если из условий испарения могут быть определены скорость поверхности испарения и скорость паров на ней, а также давление и плотность или их связь.

В [3] при энерговыделении вида (2.1) сформулированы следующие условия испарения. Закон движения поверхности испарения задается уравнением

$$\int_0^t Q(m_1, t) dt = c_v(T_1 - T_0) + \theta = \beta \quad (5.1)$$

из которого следует, что скорость поверхности  $D = (\alpha\beta)^{-1/\alpha} C^{1/\alpha}$ .

Здесь  $m_1$  координата поверхности испарения,  $T_0$  и  $C_v$  — начальная температура и теплоемкость конденсированного вещества,  $T_1$  и  $\theta$  — температура и удельная теплота испарения. Согласно уравнению (5.1) поверхность испарения в момент времени  $t$  находится в точке, где температура за счет энерговыделения поднялась от начальной до температуры испарения и выделилась энергия, равная теплоте испарения. Остальные условия испарения имеют вид

$$(u_1 - D)\rho_1 = -D\rho_0, \quad p_1 = RT_1\rho_1 \quad (5.2)$$

где  $\rho_1$ ,  $p_1$  и  $u_1$  — плотность, давление и скорость паров,  $R$  — универсальная газовая постоянная. В переменных  $l$ ,  $z$  эти условия дают прямую

$$z = l(\tau\lambda_1^\alpha)^{-1} \quad (\tau = RT_1/u_0^2, \lambda_1 = D/u_0) \quad (5.3)$$

Прямая (5.3) проходит через начало координат, поэтому уравнение (3.7) имеет бесконечное число разрывных решений, которые начинаются в точках интервала  $0\Phi$  прямой (5.3) (фиг. 1). Уравнения (3.4) и (3.2) в этом случае тоже имеют бесконечное число решений, поэтому условия испарения (5.1), (5.2) следует признать неудачными.

Рассмотренный пример автомодельного неадиабатического движения показывает, что физическая непротиворечивость условий испарения еще не обеспечивает существования и единственности решения задачи. Исследование условий испарения с этой точки зрения является обязательным.

Автор благодарен В. Ф. Куропатенко и В. Е. Неуважаеву за помощь и интерес к работе.

Поступила 25 XII 1972

#### ЛИТЕРАТУРА

1. Афанасьев Ю. В., Крохин О. Н. Испарение вещества под действием излучения лазера. ЖЭТФ, 1967, т. 52, вып. 4.
  2. Виленская Г. Г., Немчинов И. В. Численный расчет движения и нагрева излучением ОКГ плазмы, образовавшейся при вспышке поглощения в парах твердого тела. ПМТФ, 1969, № 6.
  3. Балакин В. Б. Разлет слоя переменной массы при постепенном выделении энергии. Инж.-физ. ж., 1968, т. 14, № 6.
-